

애기수영의 화학적 성분

최상길, 황방연, 김민수, 오갑진, 이경순, 노재섭*

충북대학교 약학대학

Chemical Components of *Rumex acetosella* L.

Sang Gil Choe, Bang Yeon Hwang, Min Su Kim, Gab-Jin Oh,
Kyong Soon Lee and Jai Seup Ro*

Department of Pharmacy, Chungbuk National University, Cheongju 361-763, Korea

Abstract – In the course of phytochemical studies of *Rumex acetosella* L. (Polygonaceae), the MeOH extract of the whole plants was fractionated with CH₂Cl₂ and H₂O, and the CH₂Cl₂ layer was fractionated again with 90% MeOH and hexane. Whereas H₂O layer was fractionated with EtOAc and then with *n*-BuOH again. By repeated column chromatography, compound 1 was isolated from the 90% MeOH fraction, compounds 1, 2, 3, 4 and 5 were from the ethylacetate fraction, and compound 5 was from the *n*-BuOH fraction. On the basis of physico-chemical, spectroscopic evidences and in comparison with authentic samples, the structures of them were confirmed to emodin, citreorosein, chrysophanol-8-O- β -D-glucopyranoside, luteolin and luteolin-7-O- β -D-glucopyranoside.

Key words – *Rumex acetosella*; Polygonaceae; emodin; citreorosein; chrysophanol-8-O- β -D-glucopyranoside; luteolin; luteolin-7-O- β -D-glucopyranoside.

애기수영(*Rumex acetosella*)은 마디풀과(Polygonaceae)에 속하는 다년생 초본으로 자웅이주(雌雄異株)이며 균경이 있어 왕성한 번식을 한다. 줄기는 15~50 cm로 곧게 자라며, 잎은 창겹모양으로 길이 3~5 cm, 폭 1~2 cm 인데 피침형(披針形)이거나 타원형(橢圓形)이다. 꽃은 흥록색의 단성화(單性花)로 원추화서(圓錐花序)를 이루며, 5~9월에 피는데, 꽂받침은 6개이고, 꽃잎은 없다. 수꽃은 6개의 수술이, 암꽃은 3개의 암술이 있다. 유럽 원산으로 난대와 열대의 전세계에 귀화(歸化)되었으며 우리나라에서도 중부 이남의 양지 바른곳에 잘 자라고 있다.¹⁾ 애기수영은 그 뿌리를 소산모(小酸模)라 하며, 청열양혈(淸熱涼血)작용이 있고, 항암

(抗癌), 폐결핵(肺結核), 객혈(咯血) 등에 사용되어지고 있다.²⁾

마디풀과 식물은 약 30속 800여종이 세계적으로 널리 분포하며 우리나라에도 *Rumex*속, *Rheum*속, *Oxyria*속, *Fagopyrum*속 및 *Polygonum*속의 5속 84종 정도가 분포하고 있다.³⁾ 마디풀과의 식물들은 대체로 anthraquinones,⁴⁻⁶⁾ flavonoids,^{7,8)} tannins,^{9,10)} stilbenes,^{11,12)} steroids¹³⁾ 등의 화합물을 함유하며, 완하제(緩下劑), 이뇨제(利尿劑), 건위제(健胃劑) 등으로 사용되어지고 있다.

지금까지 Polygonaceae와 *Rumex*속의 여러 식물에 대하여는 성분 및 활성에 대한 많은 보고가 있으나, 애기수영의 성분연구는 아직 보고된 바가 없어 천연약품자원개발 목적으로 애기수영의 전초를 사용하여 그 성분을 규명하고자 하였다.

*교신저자 : Fax 0431-68-2732

재료 및 방법

실험재료 – 1995년 5월 충북대학교 약학대학 부속 약초원에서 채집한 애기수영(*R. acetosella* L.)을 감정후 전초를 음건하고 세절하여 사용하였다.

기기 및 시약 – 응점은 Electrothermal 9100 (Electrothermal Engineering Ltd.)을 사용하였으며 보정하지 않았다. IR은 Perkin-Elmer spectrophotometer(Model. LE599, U.K.)를, UV는 Jasco V500 UV/VIS spectrophotometer로 측정하였다. NMR은 Varian Unity 300 spectrometer로 측정하였고, EI-MS는 Hewlett-Packard MS Engine-5989 A를, FAB-MS는 Kratos Concept-1S를 사용하였다. Column chromatography 담체는 silicagel(70~230 mesh, ASTM 9385, Merck)과 Toyopearl HW 40F(30~60 μ, Tosoh Co.)를 사용하였고, TLC plate는 Kiesel-gel 60 F₂₅₄ plate(0.2 mm, Merck)을 사용하였으며, 시약 및 용매는 분석용 특급 또는 1급 시약을 사용하였다.

추출 및 분리 – 음건한 애기수영의 전초 0.5 kg을 세절하여, MeOH로 실온에서 3회 반복추출하고 추출액은 감압 농축하여 MeOH extract 80 g을 얻었다. 이 MeOH extract를 물에 혼탁시킨 후 CH₂Cl₂로 분획하고, CH₂Cl₂층은 다시 hexane과 90% MeOH로 분획하였다. 90% MeOH층은 농축하여 10 g의 extract를 얻은 후, CH₂Cl₂-MeOH gradient를 이동상으로 하여 silicagel column chromatography를 반복실시하였다. 총 8개의 fraction을 얻고, 이중 fraction 2에서 compound 1을 단리하였다.

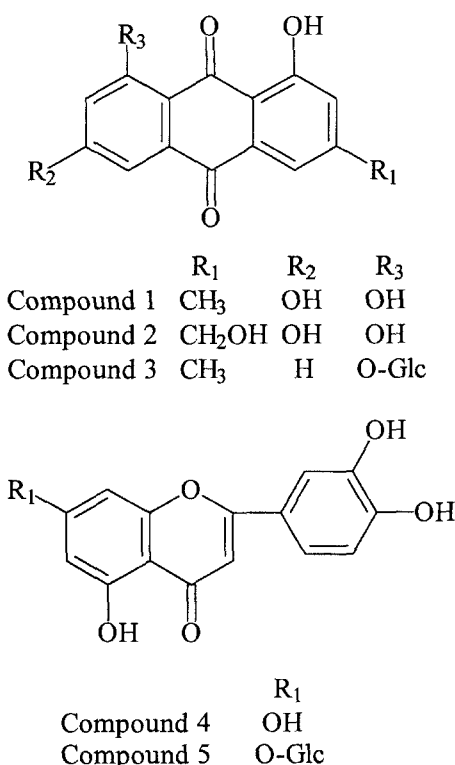
H₂O층은 ethylacetate로 분획한 후, 남은 물층은 다시 *n*-BuOH로 분획하였다. Ethyl acetate층과 *n*-BuOH층은 각각 CH₂Cl₂-MeOH gradient 및 CH₂Cl₂:MeOH:H₂O(CMW)를 이동상으로 하여 silicagel column chromatography를 반복실시하였다. Ethyl acetate층에서는 총 10개의 fraction을 얻었는데, fraction 3에서 compound 1을, fraction 4에서 compound 2를, fraction 5에서 compound 4를, 그리고 fraction 8에서 compound 5를 단리하였고, fraction 6은 MeOH:H₂O = 70:30을 이동상으로 Toyopearl column chro-

matography를 실시하여 compound 3을 단리하였다. *n*-BuOH층에서는 총 12개의 fraction을 얻었는데, 이중 fraction 6에서 compound 5를 단리하였다.

Compound 1의 분리 – 90% MeOH층과 ethyl acetate층에서 분리된 이 화합물은 황색의 침상결정으로 Bornträger's reaction에 분홍색의 양성반응을 나타내었다. mp 258~259°C; UV, λ_{\max} (MeOH) 437, 284, 265, 221 nm; IR, ν_{\max}^{KBr} 3460 (OH), 2950(C-H), 1676(free C=O), 1603(chelated C=O), 1555, 1476(aromatic C=C) cm⁻¹; EI-MS *m/z* 270[M]⁺, 242, 213, 185, 168, 139, 115, 69; ¹H-NMR(DMSO-d₆, 300 MHz, δ ppm) 12.19(1H, s, chelated OH), 12.09(1H, s, chelated OH), 11.38(1H, s, free OH), 7.50(1H, brs, H-4), 7.17(1H, brs, H-2), 7.13(1H, d, *J*=2.4, H-5), 6.60(1H, d, *J*=2.4, H-7), 2.46(3H, s, CH₃).

Compound 2의 분리 – Ethyl acetate층에서 분리된 이 화합물은 황적색의 침상결정으로서 Bornträger's reaction에 분홍색의 양성반응을 나타내었다. mp 288~290°C; UV, λ_{\max} (MeOH) 481, 397, 309, 251 nm; IR, ν_{\max}^{KBr} 3350(OH), 2930(C-H), 1650(free C=O), 1625(chelated C=O), 1557, 1475(aromatic C=C) cm⁻¹; EI-MS *m/z* 286 [M]⁺, 257, 240, 215, 187, 155, 127, 115, 69; ¹H-NMR(DMSO-d₆, 300 MHz, δ ppm) 12.11 (1H, s, chelated OH), 12.08(1H, s, chelated OH), 11.40(1H, s, free OH), 7.67(1H, s, H-4), 7.27(1H, s, H-2), 7.15(1H, d, *J*=2.4, H-5), 6.62 (1H, d, *J*=2.4, H-7), 4.61(2H, s, CH₂).

Compound 3의 분리 – Ethyl acetate층으로부터 얻은 fraction 6을 MeOH:H₂O = 70:30을 이동상으로 하여 Toyopearl column chromatography를 실시하여 분리한 이 화합물은 황색의 분말로서, Bornträger's reaction에 분홍색의 양성반응을 나타내었다. mp 253~255°C; UV, $\lambda_{\max}^{\text{MeOH}}$ 410, 282, 248 nm; IR, ν_{\max}^{KBr} 3350(OH), 2920(C-H), 1672(free C=O), 1632(chelated C=O), 1586, 1490(aromatic C=C), 1092(glycosidic C-O) cm⁻¹; EI-MS *m/z* 254[M-Glc]⁺, 197, 152, 115, 55; ¹H-NMR(DMSO-d₆, 300 MHz, δ ppm) 12.82

**Fig. 1.** Chemical structures of isolated compounds.

(1H, s, OH), 7.87(1H, dd, *J*=2.4, 7.8, H-5), 7.84(1H, m, *J*=7.2, 7.8, H-6), 7.69(1H, dd, *J*=2.4, 7.2, H-7), 7.50(1H, brs, H-4), 7.19(1H, brs, H-2), 5.16(1H, d, *J*=7.5, aromatic H), 2.42(3H, s, CH₃); ¹³C-NMR(DMSO-*d*₆, 75.5 MHz, δ ppm) Table I 참조.

Compound 3의 가수분해 – 시료 15 mg을 5% H₂SO₄에 녹여 90℃에서 3시간 환류냉각하면서 가열하였다. 반응액은 ether로 분획한 후 농축하여 MeOH에서 재결정을 시켜 황색의 chrysophanol 결정을 얻었다. 물층은 BaCO₃로 중화하여 생성되는 염을 여과하여 제거하고, D-glucose의 표준과 비교 TLC하여 확인하였다.

Compound 3a – Mp 194~196℃; ¹H-NMR (DMSO-*d*₆, 300 MHz, δ ppm) 12.12(1H, s, OH), 12.03(1H, s, OH), 7.84(1H, dd, *J*=2.1, 7.8, H-5), 7.81(1H, m, *J*=7.2, 7.8, H-6), 7.65(1H, brs, H-4), 7.45(1H, dd, *J*=2.1, 7.2, H-7), 7.16(1H, brs, H-2), 2.45(3H, s, CH₃); ¹³C-NMR (DMSO-*d*₆, 75.5 MHz, δ ppm) Table I 참조.

Table I. ¹³C-NMR spectral data of compounds 3a and 3 (DMSO-*d*₆, 75.5 MHz, ppm)

| carbon No | chryso- phanol* | 3a | chrysophanol-8- O-β-D- glucopyranoside** | 3 |
|-----------------|-----------------|-------|--|-------|
| 1 | 161.7 | 161.4 | 161.8 | 161.6 |
| 2 | 124.2 | 124.3 | 124.2 | 124.1 |
| 3 | 149.3 | 149.2 | 147.8 | 147.6 |
| 4 | 120.6 | 123.4 | 122.7 | 122.4 |
| 5 | 119.4 | 119.6 | 119.5 | 120.6 |
| 6 | 137.4 | 137.2 | 136.1 | 135.9 |
| 7 | 124.5 | 120.1 | 121.5 | 120.6 |
| 8 | 161.4 | 161.7 | 158.4 | 158.2 |
| 9 | 191.7 | 191.6 | 187.9 | 187.5 |
| 10 | 181.6 | 181.8 | 182.3 | 182.1 |
| 4a | 133.4 | 133.1 | 132.3 | 132.2 |
| 8a | 115.9 | 114.7 | 118.5 | 119.3 |
| 9a | 113.9 | 115.1 | 114.9 | 114.8 |
| 10a | 133.1 | 133.3 | 134.7 | 134.8 |
| 1 | | | 100.7 | 100.5 |
| 2 | | | 73.5 | 73.3 |
| 3 | | | 76.7 | 76.5 |
| 4 | | | 69.7 | 69.5 |
| 5 | | | 77.5 | 77.3 |
| 6 | | | 60.8 | 60.6 |
| CH ₃ | | | 21.7 | 21.5 |

* data from reference 20)

** data from reference 16)

Compound 4의 분리 – Ethyl acetate층에서 분리된 이 화합물은 황색의 분말로서, FeCl₃ test에 흑청색의 양성반응을 나타내었고, Mg-HCl test에서는 자홍색을 나타내었다. mp 328~330℃; IR, ν_{\max}^{KBr} 3365(OH), 2910(C-H), 1630(C=O), 1590(aromatic C=C) cm⁻¹; UV, $\lambda_{\max}(\text{MeOH})$ 348, 248 nm; $\lambda_{\max}(\text{NaOMe})$ 406, 315, 268 nm; $\lambda_{\max}(\text{NaOAc})$ 375, 328, 268 nm; $\lambda_{\max}(\text{NaOAc} + \text{H}_3\text{BO}_3)$ 371, 259 nm; $\lambda_{\max}(\text{AlCl}_3)$ 423, 273 nm; $\lambda_{\max}(\text{AlCl}_3 + \text{HCl})$ 399, 265 nm; EI-MS *m/z* 286(M)⁺, 258, 229, 153, 134, 98, 73, 60; ¹H-NMR(DMSO-*d*₆, 300 MHz, δ ppm) 12.97(1H, s, OH), 10.81(1H, s, OH), 9.39(1H, s, OH), 9.91(1H, s, OH), 7.41(1H, dd, *J*=8.4, 2.1, H-6'), 7.38(1H, d, *J*=2.1, H-2'), 6.88(1H, d, *J*=8.4, H-5'), 6.66(1H, s, H-3), 6.43(1H, d, *J*=1.8, H-8), 6.18(1H, d, *J*=1.8, H-6); ¹³C-NMR(DMSO-*d*₆, 75.5 MHz, δ ppm) Table II 참조.

Table II. ^{13}C -NMR spectral data of compounds 4 and 5 (DMSO- d_6 , 75.5 MHz, ppm)

| carbon No | luteolin* | 4 | DEPT | glucoluteolin** | 5 | DEPT |
|-----------|-----------|-------|------|-----------------|-------|-----------------|
| 2 | 164.0 | 164.1 | C | 164.5 | 164.5 | C |
| 3 | 103.3 | 102.9 | CH | 103.2 | 99.9 | CH |
| 4 | 182.2 | 181.6 | C | 182.1 | 181.9 | C |
| 5 | 162.1 | 157.3 | C | 161.2 | 157.0 | C |
| 6 | 99.2 | 98.8 | CH | 99.8 | 99.5 | CH |
| 7 | 164.7 | 163.9 | C | 162.9 | 163.0 | C |
| 8 | 94.2 | 93.8 | CH | 94.7 | 94.7 | CH |
| 9 | 157.9 | 161.5 | C | 156.9 | 161.1 | C |
| 10 | 104.2 | 103.7 | C | 105.7 | 105.3 | C |
| 1' | 122.1 | 121.5 | C | 121.6 | 121.3 | C |
| 2' | 113.8 | 113.4 | CH | 113.4 | 113.5 | CH |
| 3' | 146.2 | 149.7 | C | 145.8 | 150.0 | C |
| 4' | 150.2 | 145.7 | C | 148.9 | 145.8 | C |
| 5' | 116.4 | 116.0 | CH | 116.0 | 116.0 | CH |
| 6' | 119.3 | 119.0 | CH | 119.2 | 119.2 | CH |
| 1 | | | | 100.1 | 103.1 | CH |
| 2 | | | | 73.1 | 73.1 | CH |
| 3 | | | | 76.4 | 76.4 | CH |
| 4 | | | | 69.5 | 69.5 | CH |
| 5 | | | | 77.2 | 77.1 | CH |
| 6 | | | | 60.8 | 60.6 | CH ₂ |

* data from reference 19)

** data from reference 21)

Compound 5의 분리 - Ethyl acetate층과 *n*-BuOH층에서 분리된 이 화합물은 흰색의 분말로서 mp 238~239°C이며, FeCl₃ test에 오록색의 양성 반응을 나타내었고, Mg-HCl test에서는 자홍색을 나타내었다. mp 238~239°C; IR $\nu_{\text{max}}^{\text{KBr}}$ 3320(OH), 2930(C-H), 1658(C=O), 1596, 1492(aromatic C=C), 1078 (glycosidic C-O) cm⁻¹; UV, λ_{max} (MeOH) 349, 250 nm; λ_{max} (NaOMe) 396, 258 nm; λ_{max} (NaOAc) 405, 250 nm; λ_{max} (NaOAc + H₃BO₃) 375, 257 nm; λ_{max} (AlCl₃) 427, 273 nm; λ_{max} (AlCl₃+HCl) 391, 258 nm; Positive FAB-MS m/z 449[M+H]⁺, 287[M-glc+H]⁺; ¹H-NMR (DMSO- d_6 , 300 MHz, δ ppm) 12.98(1H, brs, OH), 7.44(1H, dd, J =8.4, 2.1, H-6'), 7.41(1H, d, J =2.1, H-2'), 6.90 (1H, d, J =8.4, H-5'), 6.78 (1H, d, J =2.1, H-8), 6.74(1H, s, H-3), 6.43(1H, d, J =2.1, H-6), 5.07(1H, d, J =7.5, anomeric H); ¹³C-NMR(DMSO- d_6 , 75.5 MHz, δ ppm) Table II 참조.

Compound 5의 가수분해 - 시료 10 mg을 5% H₂SO₄에 녹여 90°C에서 3시간 환류생각하면서 가열한 후, 반응액을 BaCO₃로 중화하였다. 석출되는 염을 여과하여 제거하고, 얻어진 여액을 ethylacetate로 분획하였다. Ethyl acetate층은 luteolin의 표품과, 물층은 D-glucose의 표품과 비교 TLC하여 확인하였다.

결과 및 고찰

Compound 1은 황색의 침상결정으로 mp 258~259°C를 나타내었으며, anthraquinone 확인 반응인 Bornträger 반응에서 분홍색의 양성반응을 나타내었고, UV spectrum에서는 437, 284, 265, 221 nm에서 강한 흡수대를 나타내어 anthraquinone 유도체로 추정하였으며, IR spectrum에서 1676 cm⁻¹의 free ketone기의 흡수대와 1630 cm⁻¹의 chelated된 ketone의 흡수대가 관찰되는 것으로 미루어 1,8-dihydroxyanthraquinone으로 추정

하였다. $^1\text{H-NMR}$ spectrum에서 δ 12.19 ppm과 δ 12.09 ppm에서 9번위의 ketone기와 hydrogen bonding하고 있는 1, 8번위의 OH signal이 각각 singlet으로 관찰되었고, δ 11.38 ppm에서는 6번위의 free OH signal이 singlet으로 관찰되었다. Aromatic field에서는 결합정수 $J=2.4$ Hz로 *m*-coupling하여 각각 δ 7.13 ppm과 δ 6.60 ppm의 doublet으로 관찰되는 5, 7번위의 proton signal을 관찰할 수 있었으며, δ 7.17 ppm과 δ 7.50 ppm에서는 각각 broad singlet으로 관찰되는 2, 4번위의 proton signal을 관찰할 수 있었다. 또한 δ 2.46 ppm에서는 aromatic methyl기에 기인하는 3H분의 singlet signal이 관찰되었다. EI-Mass spectrum에서는 molecular ion peak가 *m/z* 270에서 나타났고, *m/z* 242, 213, 185, 168, 139, 115 등의 fragment ion peak가 나타났다. 이상의 data와 여러 물리화학적 성상을 문헌치¹⁴⁾와 비교하여 compound 1은 1,6,8-trihydroxy-3-methyl anthraquinone인 emodin으로 동정하였다.

Compound 2는 황적색의 침상결정으로 mp 288~290°C를 나타내었으며, anthraquinone 확인 반응인 Bornträger 반응에서 분홍색의 양성반응을 나타냈었고, UV spectrum에서는 481, 397, 309, 251 nm에서 강한 흡수대를 나타내어 anthraquinone 유도체로 추정하였으며, IR spectrum에서 1650 cm^{-1} 의 free ketone기의 흡수대와 1625 cm^{-1} 의 chelated된 ketone의 흡수대가 관찰되는 것으로 미루어 1,8-dihydroxyanthraquinone으로 추정하였다. $^1\text{H-NMR}$ spectrum은 compound 1과 전체적으로 유사한 양상을 보였으나, compound 1의 δ 2.46 ppm에서의 aromatic methyl기에 기인하는 3H분의 singlet signal대신 δ 4.61 ppm에서 3번위의 aromatic hydroxymethyl기에 기인하는 2H분의 singlet signal이 관찰되었다. EI-Mass spectrum에서는 *m/z* 286에서 molecular ion peak를 나타내었다. 이상의 data와 여러 물리화학적 성상을 문헌치¹⁵⁾와 비교하여 compound 2는 1,6,8-trihydroxy-3-hydroxymethyl anthraquinone인 citreorosein으로 동정하였다.

Compound 3는 황색 분말로 mp 253~255°C를 나타내었으며, anthraquinone 확인 반응인 Bornträger 반응에서 분홍색의 양성반응을 나타내었고,

UV spectrum에서는 410, 282, 248 nm에서 강한 흡수대를 나타내었고, IR spectrum에서 1672 cm^{-1} 의 free ketone기의 흡수대와 1632 cm^{-1} 의 chelated된 ketone의 흡수대가 관찰되는 것과 1092 cm^{-1} 의 흡수대로 미루어 anthraquinone 배당체로 추정하였다. $^1\text{H-NMR}$ spectrum에서는 δ 12.82 ppm에서 9번위의 ketone기와 hydrogen bonding을 하고 있는 1번위의 OH signal이 singlet으로 관찰되었다. Aromatic field에서는 δ 7.69 ppm의 7번위 proton과 결합정수 $J=2.4$ Hz로 *m*-coupling하는 동시에 δ 7.84 ppm의 6번위의 proton과 결합정수 $J=7.2$ Hz로 *o*-coupling하는 5번위 1H분의 proton signal이 δ 7.87 ppm에서 double doublet으로 관찰되었다. δ 7.50 ppm과 δ 7.19 ppm에서는 각각 1H분의 broad singlet으로 관찰되는 4, 2번의 proton signal을 관찰할 수 있었고, δ 2.42 ppm에서는 3H분의 aromatic methyl signal이 singlet으로 관찰되었다. δ 3~4 ppm 사이에서는 당에서 기인하는 aliphatic proton signal이 관찰되어 배당체임을 알 수 있었고, 이 당의 conformation은 당의 anomeric proton이 δ 5.16 ppm에서 결합정수 $J=7.5$ Hz의 doublet으로 관찰되는 것으로 보아 β -form인 것을 알 수 있었다. 이 당의 결합위치는 compound 3을 compound 3a와 비교하여 볼 때, C-8이 3.5 ppm 만큼 upfield shift되었고, C-7이 0.5 ppm, C-8a가 4.6 ppm downfield shift된 것으로 보아 8번위에 당이 결합되어 있음을 알 수 있었다(Table I). 또한, 이 당은 산 가수분해에 의하여 표품과 비교 TLC하여 D-glucose임을 확인하였다. EI-Mass spectrum에서는 *m/z* 254에서 $[\text{M-Glc}]^+$ 의 fragment ion peak를 나타내었다. $^{13}\text{C-NMR}$ spectrum에서는 총 21개의 탄소 signal을 관찰할 수 있었는데, δ 60.6 ppm에서 당의 6번 탄소인 CH_2 의 signal을 관찰할 수 있었고, δ 70~80 ppm 사이에서 당의 4개의 aliphatic carbon signal과 δ 100.5 ppm에서 저자장 shift된 당의 anomeric carbon signal을 관찰할 수 있었다. 이상의 data와 여러 물리화학적 성상을 문헌치¹⁶⁾와 비교하여 compound 3은 chrysophanol-8-O- β -D-glucopyranoside로 동정하였다.

Compound 4는 황색분말로 mp 328~330°C를 나타내었으며, FeCl_3 test에 오록색의 양성반응을

보였고, Mg-HCl test에서는 자홍색을 나타내어 flavonoid로 추정하였다. IR spectrum에서 3365 cm^{-1} (OH), 2910 cm^{-1} (C-H), 1630 cm^{-1} (C=O), 1590 cm^{-1} (C=C)의 흡수대가 관찰되었고, UV spectrum에서는 flavonoid의 전형적인 두 개의 흡수대가 348 , 248 nm 에서 관찰되었다. Compound 4의 MeOH용액에 shift reagent를 첨가한 UV spectrum에서는 NaOMe첨가시 315 nm 에서 새로운 흡수대가 생겼으며, NaOAc첨가시 248 nm 의 band II가 268 nm 로 20 nm 만큼 bathochromic shift된 것으로 미루어 7번위에 free OH기가 있음을 추정하였다. 또한 NaOMe 첨가시 band I이 58 nm bathochromic shift되었고 intensity에 감소가 없었으므로 3번위에 hydroxy기가 없음을 추정하였다. 그리고 AlCl_3+HCl 첨가시 348 nm 의 band I이 399 nm 로 51 nm bathochromic shift된 것으로 미루어 5번위에 free OH기가 있음을 추정하였고, $\text{NaOAc}+\text{H}_3\text{BO}_3$ 첨가시 Band I이 348 nm 에서 371 nm 로 23 nm 만큼 bathochromic shift된 것과, AlCl_3 첨가시가 AlCl_3+HCl 첨가시보다 24 nm 만큼 band I이 더 bathochromic shift가 일어난 것으로 미루어 B-ring에 *ortho*-diOH가 있음을 추정하였다. 이들로부터 compound 4는 B-ring에 *ortho*-diOH를 가지는 flavone으로 추정할 수 있었다. $^1\text{H-NMR}$ spectrum에서는 4번의 ketone기와 수소결합을 하는 5번위의 OH signal이 관찰되었으며, δ $9\sim11\text{ ppm}$ 에서는 7 , $3'$, $4'$ 번위의 free OH signal들이 관찰되었다. Aromatic field에서는 δ 6.66 ppm 에서 3번 proton의 1H분 singlet signal이 관찰되었고, δ 6.18 ppm 과 δ 6.43 ppm 에서는 *m*-coupling하여 각각 결합정수 $J=1.8\text{ Hz}$ 의 doublet으로 관찰되는 A환 6 , 8 번위의 전형적인 proton signal이 관찰되었다. 또한 7.38 ppm 의 $2'$ 번 proton과는 결합정수 $J=2.1\text{ Hz}$ 로 *m*-coupling하는 동시에 6.88 ppm 의 $5'$ 번 proton과는 결합정수 $J=8.4\text{ Hz}$ 로 *o*-coupling하는 $6'$ 번 proton의 signal이 7.41 ppm 에서 double doublet으로 관찰되어 3치환 benzene ring이 존재함을 알 수 있었다.¹⁷⁾ El-Mass spectrum에서는 *m/z* 286 에서 molecular ion peak를 나타내며, $256(\text{M}-\text{CO})$, 229 , 153 , 134 등의 fragment ion peak들을 관찰

할 수 있었다. $^{13}\text{C-NMR}$ spectrum에서는 총 15개의 탄소 signal을 관찰할 수 있었으며(Table II), DEPT spectrum에서는 6개의 aromatic carbon signal들을 관찰할 수 있었다. 이상의 data와 여러 물리화학적 성상들을 문헌치¹⁸⁾와 비교하여 compound 4는 2-(3,4-dihydroxyphenyl)-5,7-dihydroxy-4H-1-benzopyran-4-one인 lu-teolin으로 구조동정하였다.

Compound 5는 회백색의 분말로 mp $238\sim239\text{ }^\circ\text{C}$ 를 나타내었으며, FeCl_3 test에 오록색의 양성반응을 보였고, Mg-HCl test에서는 자홍색을 나타내어 flavonoid로 추정하였다. IR spectrum에서 3320 cm^{-1} (OH), 2930 cm^{-1} (C-H), 1658 cm^{-1} (C=O), 1596 cm^{-1} , 1492 cm^{-1} (C=C), 1078 cm^{-1} (glycosidic C-O)의 흡수대가 관찰되었고, UV spectrum에서는 flavonoid의 전형적인 두 개의 흡수대가 349 , 250 nm 에서 관찰되었다. $^1\text{H-NMR}$ spectrum은 compound 4의 spectrum과 유사한 양상을 보였으나, δ $3\sim4\text{ ppm}$ 사이에서 당에서 기인하는 aliphatic proton signal들이 관찰되어 배당체임을 알 수 있었다. 당의 conformation은 당의 anomeric proton이 결합정수 $J=7.5\text{ Hz}$ 로 나타나는 것으로 보아 β -form으로 추정하였다.²⁰⁾ 당 결합위치를 확인하기 위하여, compound 5의 UV spectrum에서 MeOH 용액에 NaOMe를 첨가했을 때 $320\sim335\text{ nm}$ 에서 새로운 band가 생기지 않았고, NaOAc 첨가시 250 nm 의 band II에 bathochromic shift 가 일어나지 않았으므로 7위의 OH가 치환되어 있음을 알 수 있었고, NaOMe 첨가시 band I이 47 nm bathochromic shift되었고 intensity에 감소가 없었으므로 3번위에 hydroxy기가 없음을 알 수 있었다. 또 AlCl_3/HCl 첨가시 band I이 349 nm 에서 391 nm 로 42 nm bathochromic shift된 것으로 미루어 5위의 OH기가 치환되어 있지 않음을 알았다. 또 $\text{NaOAc}+\text{H}_3\text{BO}_3$ 첨가시에는 349 nm 의 band I이 375 nm 로 26 nm bathochromic shift된 것과, AlCl_3/HCl 첨가시 band I이 391 nm 에서 AlCl_3 첨가시 band I이 427 nm 로 36 nm bathochromic shift된 것으로 보아 B ring에 *ortho*-diOH기가 있음을 알았다. 이들로부터 당은 7위치에 결합되어 있음을 확인할 수 있었다. $^{13}\text{C-NMR}$ spectrum으로부터 δ

103.1, 73.1, 76.4, 69.5, 77.1, 60.6 ppm으로 미루어 glucose로 추정하였고, 산 가수분해에 의하여 D-glucose표품과 비교 TLC하여 glucose임을 확인하였다. ^{13}C -NMR spectrum에서는 총 21개의 탄소 signal을 관찰할 수 있었으며(Table II), DEPT spectrum에서는 δ 60 ppm에서 당의 6번 탄소인 CH_2 의 signal을 관찰할 수 있었으며, δ 70~80 ppm 사이에서 당의 4개의 aliphatic carbon signal과 δ 103.1 ppm에서 저자장 shift된 당의 anomeric carbon signal을 관찰할 수 있었다. Positive FAB-Mass spectrum에서는 m/z 449에서 $[\text{M}+\text{H}]^+$ 의 molecular ion peak가 관찰되었으며, 여기에서 glucose 1분자가 떨어져 형성된 m/z 287의 signal을 관찰할 수 있었다. 이상의 data와 여러 물리화학적 성상들을 문헌치^[19]와 비교하여 compound 5는 luteolin-7-O- β -D-glucopyranoside인 glucoluteolin으로 구조동정하였다.

결 론

천연약품자원개발 목적으로 애기수영의 전초를 MeOH로 추출하고, 용매분획한 후 각종 column chromatography를 실시하여 5종의 화합물을 단리하였다. 이들은 anthraquinone유도체인 emodin, citreorosein, chrysophanol-8-O- β -D-glucopyranoside과 flavonoid인 luteolin과 luteolin-7-O- β -D-glucopyranoside인 glucoluteolin이며, 이 화합물들은 애기수영에서는 처음으로 분리된 화합물들이다. Anthraquinone의 함유로 다른 *Rumex*속 식물처럼 대황의 대용생약으로 사용이 가능할 것이며, 분리된 성분들의 많은 생리활성연구결과로 미루어 애기수영은 여러가지 약품자원생약으로 개발이 가능할 것으로 사료된다.

사 사

이 논문은 1996년 충북대학교 발전기금재단 연구비에 의하여 연구되었으며, 연구비지원에 감사드립니다.

인용문헌

- 李壽現 (1995) 韓國歸化植物原色圖鑑, 76-77. 一潮閣,

서울.

2. 箕培根 (1990) 中國本草圖錄 卷 9, 49. 商務印書館有限公司, 香港.
3. 朴萬奎 (1974) 韓國雙子葉植物誌(本草篇), 99-116. 正音社, 서울.
4. Okabe, H., Matsuo, K. and Nishioka, I. (1973) Rhubarb (*Rhei Rhizoma*). II. Anthraquinone glycosides. *Chem. Pharm. Bull.* 21: 1254-1260.
5. Tutin, F. and Clewer, H. W. B. (1908) Constituents of rhubarb. *J. Chem. Soc.* 99: 946-967
6. Dequier, R., Lemli, J. and Cuveele, J. (1964) Anthraquinone drugs. VII. Densitometric determination of the sennidins, rheidins and rein in the root of rhubarb. *Planta Medica* 24: 476.
7. Yoshizaki, M., Fujino, H., Arise, A., Ohmiura, K., Arisawa, M. and Morita, N. (1987) Polygoacetophenoside, A new acetophenone glucoside from *Polygonum multiflorum*. *Planta Medica* 53(3): 273-275.
8. Khvorost, P. P. (1980) Flavonoids of *Polygonum aviculare*. *Khim. Prir. Soedin* 16: 840.
9. Kashiwada, Y., Nonaka, K. and Nishioka, I. (1984) Tannins and related compounds. XXIII. Rhubarb. 4. Isolation and structures of new classes of gallotannins. *Chem. Pharm. Bull.* 32: 3461-3470.
10. Kashiwada, Y., Nonaka, G. and Nishioka, I. (1986) Tannins and related compounds XIV. Rhubarb. 5. Isolation and characterization of flavan-3-ol and procyanidin glycosides. *Chem. Pharm. Bull.* 34: 3028-3022.
11. Yagi, A., Koizumi, Y. and Nishioka, I. (1971) Rhubarb(*Rhei Rhizoma*). I. Stilbene derivatives from "dudaioo" (Chinese inferior rhubarb). *Shoyakugaku Zasshi* 25: 52-54.
12. Murakami, T. and Tanaka, K. (1972) New phenolic glycosides in *Rhei palmatis* rhizomes. *Tetrahedron Lett.* 2965-2968.
13. Khetwal, K. S., Manral, K. and Pahak, R. P. (1987) Constituents of the aerial parts of *Rumex nepalensis*. *Indian Drugs*, 24(7): 328-329.
14. Kalidhar, S. B. (1989) Location of glycosylation and alkylation sites in anthraquinones by ^1H -NMR. *Phytochemistry* 28(9): 2455-2458.
15. Kimura, Y., Kozawa, M., Bada, K. and Hata, K. (1983) New constituents of roots of *Polygonum cuspidatum*. *Planta Medica* 48: 164-168.
16. 고성권, 김일혁 (1994) 한국산 재배대황근경의 약효성

- 분. 중앙대학교 약학대학, 한국 생약학회 추계학술세미나 강연요지집: 1-20.
17. Harborne, J. B. (1994) The flavonoids : Advances in research. 450. Chapman & Hall. New York.
 18. Hirai, Y., Sanada, S., Ida, Y. and Shoji, J. (1984) Studies on the constituents of Palmae plants. I. The constituents of *Trachycarpus fortunei* HOOK. H. WENDL. *Chem. Pharm. Bull.* 32(1): 295-301.
 19. Hwang, Y. J., Lee, S. H., Ryu, S. Y., Ahn, J. W., Kim, E. J., Ro, J. S. and Lee, K. S., (1994) Chemical study on the phenolic compounds from *Gleditsia japonica*. *Kor. J. Pharmacogn.* 25(1): 11-19.
 20. Knut, D., Dagfinn, W. A. and George, W. F. (1992) NMR study of some anthraquinones from rhubarb. *Magnetic Resonance in Chemistry* 30: 359-363.
 21. Kim, C. W. and Choi, B. J. (1995) Studies on the constituents of *Impatiens texrori*(II), *Kor. J. Pharmacogn.* 26(1): 8-12.

(1998년 7월 10일 접수)